EFEK PERLAKUAN PANAS TERHADAP RETAKAN PADA BAHAN AISI 1045

Akhyar Ibrahim Lab, Material Teknik Mesin Politeknik Negeri Lhokseumawe E-mail: akhyaris@yahoo.com

Baja SLEAISI 1045 merupakan salah satu jenis baja karbon yang banyak dimanfoatkan untuk berbagai komponen dan konstruksi menin, Namur demikian, dalam kondisi operasi dan konstruksi baja AISI 1045 seringkali terjadi kegagalan, akihar retakan yang timbul pada protes pengecoran, pobrikasi dan atau perlakaan panas. Karena itu, nijuan penelitian ini adalah untuk menemukan penguruh hardening dan tempering terhadap kekerasan dan struktur mikro, dan retakan. Data penelitian ini dikumpukkan melahui studi keputakaan dan yii laboratorium, komulan diantisis dengan mengpunkan metode deskriptif, Hanil penelitian memujukkan bahwa (1) makin tinggi wahu pemansaan, makin tinggi kapa kekerasan, (2) makin tinggi wahu penahanan, makin tinggi karip pada sahu 1000°C ketika waku penahanan makin tinggi karip unpenahanan makin tinggi karip unpenahanan makin tinggi suku pemansaan makin tinggi suku pemansaan makin tinggi suku penahanan makin tinggi suku pemansaan makin tinggi suku penahanan makin tebal afakun dekarburasi setelah hardening bahah tersebut chan tersebut.

Kata kunci: AISI 1045, hardening, tempering, kekerasan, retak

PENDAHULUAN

Pemaduan memberikan dasar untuk dapat dilakukan pada dilakukan pada dilakukan pada delam besi adalah elemen utama dalam baja, karbon dadalah elemen paduan yang sangat penting adalam rangka meningkatkan penguarah penguatannya pada besi. Sejumlah kecil karbon yang diberikan, misalnya, sebesar 0.80 — tehaik, semua bahan permu dekarburaissi. banus, dihila kekuatan dan kekerasannya dengan mahtaperpus dibuktaan Polityeransi kekanakan sampai 4.5% karbon ibari

kekuatan dan mampu-bentuk memburuk dan hal ini menanggung karateristik besi cor [1].

Baja karbon medium AISI/SAE 1045 merupakan salah satu baja yang memenuhi kriteria karakteristik tersebut di atas. Baja AISI 1045 ini sering dipakai sebagai poros, baut, poros engkol, connecting rod, tabung hidrolik, pin, rol, spindel, dan lain-lain memerlukan kekuatan yang lebih tinggi daripada XCQ atau grade yang sama dengannya. Dewasa ini, AISI 1045 diperdagangkan dengan mampu-mesin melalui perlakuan injeksi kalsium. Baja karbon medium ini dapat dianil pada 800°C - 850°C dengan pendinginan dapur, di-hardening pada 820°C - 860°C kemudian di-quench dalam minyak atau air, dan apabila dilanjutkan proses temper dapat dilakukan pada suhu 400°C -680°C dengan pendinginan dalam udara. Namun demikian, apabila dilakukan tempering pada 150°C - 200°C akan menurunkan tegangan, dalam hal meninimalkan pengaruh pada kekerasannya. Untuk menjamin hasil terbaik, semua bahan permukaan spesimen dekarburisasi harus dihilangkan terlebih

dihadirkan dalam baja karbon biasa, etapi NEGERI LHOKSENIRAWE

***HDUK : 01.000857/0

***TGL : E9 - JUNI 2010

Sumb F010

Adapun tujuan dari penelitian ini untuk mengetahui: (1) pengaruh suhu pemanasan dan waktu penahanan terhadap kekerasan dan retakan; dan (2) ketebalan lapisan dekarburisasi setelah mendapatkan struktur martensit dan menghilangkan retakan:

Pengamh deposit nikel-fospor terhadap sifatsifat korosi-lelah pada baja AISI 1045 yang di-quench dan di-temper telah dipelajari oleh [2]. Hal ini telah dilaporkan bahwa tidak ada perbedaan substansi yang ditemukan antara umur lelah dari spesimen yang di-coating dan tanpa-coating. Perlakuan panas lanjut (post heat treatment) pada lapisan deposit dalam penelitian lebih lanjut [3] telah menurunkan secara nyata umur fatik dari material induk yang suma

Bahkan untuk baja AISI 4140 yang memiliki kandungan karbon lebih tinggi daripada AISI 1045 pun berdasarkan penelitian yang telah dilakukan [4], proses tempering dapat mengubah struktur mikro baja AISI 4140, dengan berubahnya struktur mikro maka sifat mekanisnya juga akan mengalami perubahan secara nyata.

Transformasi antara bentuk besi BCC (ferit) dan besi FCC (austenit) selama proses pendinginan adalah pemanasan dan bertanggungjawab utama bagi struktur mikro dan sifat-sifat mekanik baja. Transformasi ini telah dipelajari secara rinci selama beberapa dekade untuk menentukan proses perlakuan termal-mekanik yang optimum dengan berbagai variasi baja [5]. Di samping itu, laju transformasi baik baja yang dikendalikan difusi karbon maupun yang dipengaruhi oleh fraksi relatif perlit dalam permulaan struktur mikro dan mulai ukuran butiran baja. Makin tinggi fraksi perlit dalam struktur mikro baja AISI 1045, menghasilkan laju transformasi awalnya yang tinggi, tetapi ukuran butirannya besar. dengan sangat dikombinasikan tambahan besar ferit alotriomorfik, dihasilkan waktu transformasi totalnya yang lebih lama [6].

Pelapisan elektroles nikel yang dilakukan pada baja AISI 1045 dengan dan tanpa post-heat treatment dan uji erosi kapitasi telah pula dilakukan [7], dan ternyata bahwa lapisan tipis (film) nikel elektroles dengan PHT dalat meningkatkan tahanan kapitasi dalat mingkungan non-korosif. Hal ini karena kekerasan film dan adhesi ditingkatkan setelah PHT. Dalam lingkungan korosif, dilapisi dengan spesimen PHT dapat meningkatkan sifat anti-korosi nikel elektroles.

Kajian retak fatik pada poros bahan AISI 1045 dengan beban dinamik rotasi lentur pada amplitudo tegangan konstan [8]. Hasil percoban dan simulasi menunjukkan bahwa retak dengan geometri semi-eliptik akan cenderung berubah secara gradual menjadi retak dengan geometri bulat pada akhir penjalaran retak

METODE PENELITIAN

Bahan Penelitian

Bahan penelitian ini digunakan AISI 1045 yang merupakan baja karbon sedang yang terkenal memiliki mampu-tempa yang terbiki, mampu-mesin sedang, dan memberi respon yang baik terhadap perlakuan panas. Kekersan setelah quench yang lebih besar daripada 55 HRC. Kekuatan tarik dari 98 (HR) sampai 120 (WQ) ksi, perpanjangan dari 24% sampai 18%. Sejumlah bahan kimia HNO, dan alkohol juag dipakai sebagai regent etsa

Peralatan Penelitian

Dalam penelitian ini digunakan mesin gergaji, universal tensile testing machine, atomic mass spectrometry, deco microhardness tester, dan metalografi.

Cara penelitian

Baja AISI 1045 dalam bentuk batang silindrik dengan diameter 20 mm dipotong dengan mesin gergaji untuk dibuat spesimen-spesimen penelitian. Untuk mendapat data awal, dilakukan pemeriksaan komposisi kimia, uji tarik, dan uji kekerasan pada logam batang silindrik induk. Kemudlan, dilakukan proses hardening pada spesimen uji dengan tujuan untuk menaikkan kekerasan logam. Pada proses hardening ini spesimen mengalami dua kali proses yaitu proses pemanasan dan setelah itu dilakukan proses

menggunakan media air. Pada proses ini spesimen dipanaskan sampai suhu 85

0°C dan ditahan selama 30 menit, Tempering adahah pemanasan kembali spesimen uji yang sudah dilakukan proses hardening. Hal ini bertujuan untuk menurunkan kekerasan dan menatkan keuletan spesimen. Pada proses ini spesimen dipanaskan kembali dengan variasi suhu, yaitu 900°C, 950°C dan 1000°C, kemudian ditahan dengan variasi waktu penahanan selama 60 menit, 120 menit dan 180 menit. Setelah proses hardening dan tempering, dilakukan uji kekerasan dan pemeriksaan metalografi berdasarkan prosedur Van der Voorl [9].

HASIL PENELITIAN DAN PEMBAHASAN

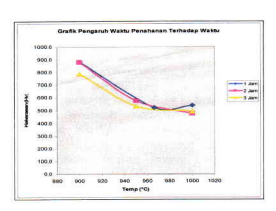
Pemeriksaan Spektrometri

Berdasarkan komposisi kimia standar AISI 1045 dan diperbandingkan dengan komposisi kimia aktual logam dasar yang diambil pada permukaan luarnya saja dengan menggunakan mass atomic spectrometry, diperoleh data-data seperti diberikan dalam Tabel 1 di bawah ingan

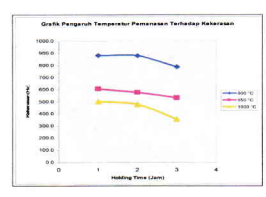
UNSUR	Standar AISI 1045 (%W)	Hasil Spektro (%W)
C	0.42 - 0.50	0.54
Si	0.15 - 0.30	0.40
Mn	0.50 - 1.00	0.70
P	0.04 Max	-
S	0.05 Max	0,03
Cr	-	0.11
Ni	8	0.23
Mo	-	0.06
Fe	Sisa	Sisa

Pengujian Kekerasan

Hasil pengujian kekerasan terhadap sampel awal (based material), sebelum diberi perlakuan panas, diperoleh nilai kekerasan rata-rata sebesar 290 HV. Setelah perlakuan panas dengan variasi suhu penanasan dan waktu penahanan tertentu, diperoleh hasil pengujian kekerasan dapat diturunkan dalam Gambar (1) dan Gambar (2).



Gambar 1. Kurva kekerasan vs suhu untuk waktu penahanan 60 menit, 120 menit dan 180 menit



Gambar 2. Kurva kekerasan vs waktu penahanan untuk suhu pemanasan 900°C, 950°C dan 1000°C

Pada Gambar (1) menunjukkan bahwa pada suhu penahanan 900°C, 950°C dan 1000°C diperoleh harga kekerasan rata-rata masing-masing sebesar 849,27 HV, 570 HV, dan 444 HV, Hal ini bermakna bahwa makin tinggi suhu penahanan makin tinggi pula harga kekerasan.

Gambar (2) menunjukkan bahwa semakin tinggi waktu penahanan akan semakin tinggi pula harga kekerasan, kecuali pada sulu 1000°C yang ternyata bahwa waktu penahanan yang tinggi akan menurunkan harga kekerasannya. Harga-harga kekerasan temuan tersebut sesuai dengan temuan Bain dan Paxton seperti dikutip Krauss, G [10]. Tetapi Krauss sendiri menyatakan bahwa harga kekerasan HRC ≤ 20 tidak dapat dianggan

absah dan hanya digunakan sebagai perbandingan saja.

Pemeriksaan Metalografi

Pemeriksaan dan analisis baku metalografis dialakukan berdasarkan prosedur Vander Voorf [9], mulai dari pemotongan spesimen, pengerindaan dan pemotesan, dan pengetsaan pada permukaannya dengan menggunakan Nital's regent etchant untuk menampang microstructure di bawah optic microscope. Pemeriksaan micrograph yang diperoleh pada pembesaran 400X Gambar (7 - 10) menghasilkan fakta bahwa logam dasar AISI 1045 sebelum dilakukan perlakukan panas memiliki struktur mikro berupa fasa ferit (warna putih) dan perlit (berwarna hitam) seperti dapat dilihat pada Gambar (3) di bawah ini.



Gambar 3. Struktur mikro sebelum perlakuan panas hardening baja AISI 1045 tampak ferit (terang) dan perlit (hitam). 800X. Nital 2%.

Perubahan Struktur Mikro

Proses perlakuan panas untuk baja karbon sedang AISI 1045 ini temasuk ke dalam karegori baja hipo-eutekkoid dengan kandungan karbon kurang dari 0,8%. Baja AISI 1045 dipanaskan hingag suhu austenit, struktur mikro, tentu saja, austenite pula. Ketika suhu trum di bawah garis A3 pada Diagram fasa Fe-C, maka butir ferit mulai terbentuk pada batas butir austenit. Selanjutnya, jika suhu terus turun, maka butir ferit terus tumbuh membesar dan fasa austenit vang terissia meniali kawa akan karbon.

Pada suhu sekitar 723°C, fasa austenit mengandung 0,8% karbon dan berubah menjadi perlit. Dengan demikian pada suhu di bawah garis A1 dari Diagram Fasa Fe-C sudah tidak ada lagi fasa austenit karena sudah bertransformasi menjadi perlit. Dalam kondisi ni AISI 1045 memiliki struktur mikro ferit (yang tidak bertransformasi) dan perlit (hasil transformasi dari austenit).

Berbeda dengan perubahan struktur mikro di atas yang berlangsung secara difusi atom dengan laju pendinginan lambat yang masih berlaku Diagram Fasa Fe-C, proses perlakuan panas quench berlangsung dengan laju pendinginan yang sangat cepat, bersifat non-difusif, dan non-termal. Karena itu, proses quenching ini harus dipakai Diagram CCT untuk dapat menganalisis struktur mikro sampel.

Jika AISI 1045 didinginkan secara cepat dari fasa austenit, maka sel satuan FCC akan bertransformasi secara cepat menjadi sel satuan BCC. Akibat cepatnya, unsur karbon yang larut dalam BCC tidak sempat keluar (terperangkap) dan tetap dalam sel satuan itu. Hal ini menyebabkan terjadinya distorsi sel satuan sehingga sel satuan BCC menjadi sel satuan BCT. Perubahan sel satuan ini diikuti dengan perubahan struktur mikro austenit menjadi martenit yang berbentuk daun bambu atau iarum-iarum halus. Kekerasan martensit terutama tergantung pada kandungan karbon yang ada pada baja itu, bahkan harga kekerasan martensit sangat tinggi meskipun kadar karbonnya rendah.

Kekerasan martensit yang tinggi ini menyebabkan AISI 1045 menjadi getas, dan selama proses pendinginan yang sangat cepat hingga suhu kamar, maka akan timbul tegangan sisa yang dapat membahayakan bahan sampel karena tegangan sisa yang bersifat tarik jika melebihi kekuatan tarik maka bahan akan mengalami retak (guench crack).

Pada Gambar (4 – 9) tampak bahwa hasil foto makro pada sampel-sampel yang telah diberi perlakuan panas quench dengan struktur martensit menghadirkan retak quench. Semakin tinggi subu pemanasan semakin tinggi pula retak quench, dan semakin tinggi pula retak quench, dan semakin tinggi ugar tetak quench, Apabila dilakukan Seanning Electron Microscope (SEM) dengan pembesaran sekitar 50000X kemungkiana besar akan

memperlihatkan jenis patah di antara batasbatas butir (intergranular). Karena itu, retak quench ini sangat rentan terhadap beban luar, maka ia harus dihilangkan dengan proses tempering lebih lanjut.



Gambar 4. Struktur permukaan setelah hardening pada 950°C dengan waktu penahanan 180 menit, dimana tampak adanya retakan akibat retak quench.



Gambar 5. Struktur permukaan setelah hardening pada 950°C dengan waktu penahanan 60 Menit, dimana tampak retak quench.



Gambar 6. Struktur permukaan setelah hardening pada 950°C dengan waktu penahanan 120 menit, dimana tampak retak quench.



Gambar 7. Struktur permukaan setelah hardening pada 1000°C dengan waktu penahanan 180 Menit, dimana tampak adanya retakan akibat retak quench.



Gambar 8. Struktur permukaan setelah hardening pada 1000°C dengan waktu penahanan 60 Menit, dimana tampak adanya retakan akibat retak quench.



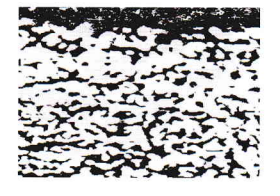
Gambar 9. Struktur permukaan setelah hardening pada 1000°C dengan waktu penahanan 120 Menit, dimana tampak adanya retakan akibat retak quench.



Gambar 10. Struktur mikro dekarburisasi setelah hardening pada AISI 1045 pada 900°C dan HT 60 menit, diperoleh tebal lapisan 265 μ



Gambar 11. Struktur mikro dekarburisasi setelah hardening pada AISI 1045 pada 900°C dan HT 120 menit, diperoleh tebal lapisan 305



Gambar 12. Struktur mikro dekarburisasi setelah hardening pada AISI 1045 pada 900°C dan HT 180 menit, diperoleh tebal lapisan 345

Pada Gambar (10 - 12) tampak bahwa pada bagian atas gambar merupakan bagian permukaan sampel. Pada permukaan sampel dapat diukur ketebalan dekarburisasi hasil proses tempering, Karbon yang terperangkap pada saat transformasi dari austenit menjadi martensit, dapat dikeluarkan dengan cara pemanasan pada baja AISI 1045 di bawah garis Al. Proses pelepasan karbon atau dekarburisasi ini membuat struktur terdeformasi plastic dan teriadi juga pelepasan tegangan sisa. Hal ini membuat kekerasan turun dan ketangguhan naik, serta cenderung menaikkan kekuatan bahan tersebut.

Hasil pengukuran tebal lapisan karburisasi setelah hardening pada AlSI 1045 pada 900°C, 950°C dan 1000°C diperoleh masing-masing sebesar 304 µ, 350 µ dan 418 µ. Hal ni berarti bahwa semakin tinggi suhu pemanasan semakin tebal lapisan dekarburasi setelah hardening bahan.

KESIMPULAN

Berdasarkan hasil analisis yang telah dilakukan dapat disimpulkan sebagai berikut:

- Setelah dilakukan pengujian dengan menggunakan spektrometer maka didapatkan komposisi kimia sebagasi berikut: 0.44%C, 0.40 % Si, 0.70 % Mn, 0.03 % S, 0.11 % Cr, 0.22% Ni, 0.04% Mo, dan sisa Fe, maka bahan penelitian dapat dipastikan sebagai AISI 1045, atau JIS S45C.
- 2. Hasil uji kekerasan menunjukkan bahwa pada suhu penahanan 90°C, 950°C dan 1000°C diperoleh harga kekerasan ratarata masing-masing sebesar 849,27 HV, 570 HV, dan 444 HV. Hal ini bermakna bahwa makin tinggi suhu pemanasan makin tinggi harga kekerasan.
- Semakin tinggi waktu penahanan akan semakin tinggi pula harga kekerasan, kecuali pada suhu 1000°C yang ternyata bahwa waktu penahanan yang tinggi akan menurunkan harga kekerasannya.
- Hasil analisis struktur mikro dan makro menunjukkan bahwa semakin tinggi suhu pemanasan semakin tinggi pula retak

quench, dan semakin tinggi waktu penahanan semakin tinggi juga retak quench, dengan jenis patah di antara batas-batas butir (intergranular).

5. Hasil pengukuran tebal lapisan karburisasi setelah hardening pada AISI 1045 pada 900°C, 950°C dan 1000°C diperoleh masing-masing sebesar 304 µ, 350 µ dan 418 µ. Hal ini berarti bahwa semakin tinggi suhu pemanasan semakin tebal lapisan dekarburasi setelah hardening bahan tersebut.

DAFTAR PUSTAKA

- Meier, M., "The heat treatment of Steel," Dept. of Chemical and Material Science, Technical Paper, University of California, Davis, Sept. 11, 2004;
- Chitty, J.A.; Pertuz, A.; Hintermann, H.; Puchi, E.S. "Influence of electroless nickel-phosphorus deposits on corrosionfatigue life of notched and un-notched samples of an AISI 1045 steel" Journal of Materials Engineering and Performance, 8 (1), 83–86 (1999);
- Garces, V., et al., "Fatigue Behavior of a quenched and tempered AISI 4340 steel coated with an electroless N-P deposit", Proceedings of the 1999 26" International Conference on Metallurgic Coateings and Tin Films, San Diego., CA, USA, Apr 12-15, 1999
- Anggono, W., Siahaan, I.H., dan Cahyono, A.D., "Optimasi Proses Tempering Baja AISI 4140 untuk Peningkatan Sifat Mekanik Roller Cycle Speed Reducer", Jurnal Tehnik Mesin (U.Petra), 8 (2), 23-32 (2005);
- Honeycomb, RWK., and Bhadeshia, H.K.D.H., "Steel: Microstructure and Properties", Metal Park, Ohio: ASM International, (1982);
- Elmer, J. W., et.al., "Direct Observations of Austenite, Bainite, and Martensite Formation During Arch Welding of 1045 Steel Using Time-Resolved X-ray Differaction", Welding Journal, 7 (2) 244– 253 (2004);
- Lin, C.J., and He, J.L., "Cavitation erosion behavior of electroless nickel-

- plating on AISI 1045", Wear xxx (2005) xxx-xxx, http://: www. sciencedirect.com.
- Akhyar Ibrahim, Ahmad Taufik Joenoes, dan Sony Suprijanto, "Prediksi Penjalaran Retak Fatik pada Poros yang dikenai Beban Lentur Amplitudo Konstan", Jurnal MESIN (ITB), 22(1), 23-32 (2002);
- Vander Voort, G.F. "ASM Handbook Vol. 9: Metallography and Microstructures," (Ohio: ASM International, 2004).
- Krauss, G. "Steel: Heat Treatment and Processing Principles," (Metal Park Ohio: ASM International (1989).